

การค้นคว้าความส่องสว่างของไฟสนมกีฬาที่ปรากฏต่อผู้สังเกตการณ์



นายพงษ์ศรี ศิริมงคล

วิทยานิพนธ์นี้ เป็นส่วนหนึ่งของการศึกษาตามหลักสูตรปริญญาวิศวกรรมศาสตรมหาบัณฑิต

ภาควิชาวิศวกรรมไฟฟ้า

บัณฑิตวิทยาลัย จุฬาลงกรณ์มหาวิทยาลัย

พ.ศ. 2534

ISBN 974-579-346-9

ลิขสิทธิ์ของบัณฑิตวิทยาลัย จุฬาลงกรณ์มหาวิทยาลัย

017556
๑๗๖๙๔๓

CALCULATION OF LUMINANCE PERCIEVED BY OBSERVERS IN SPORT
LIGHTING

Mr. Pongsiri Sirimongkol

A Thesis Submitted in Partial Fulfillment of the Requirements
For the Degree of Master of Engineering
Department of Electrical Engineering
Graduate School

Chulalongkorn University

1991

ISBN 974-579-346-9

หัวข้อวิทยานิพนธ์ การคำนวณค่าความส่องสว่างของไฟสนามกีฬาที่ปรากฏต่อ
ผู้ลัง เกตการณ์

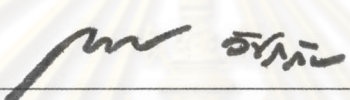
โดย นายพงษ์ศิริ ศิริมงคล

ภาควิชา วิศวกรรมไฟฟ้า

อาจารย์ที่ปรึกษา อ้าจารย์ไชย แซมช้อย

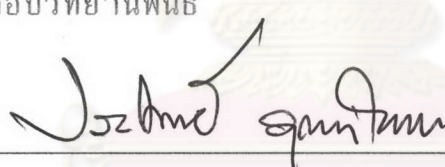


บัณฑิตวิทยาลัย จุฬาลงกรณ์มหาวิทยาลัย อนุมัติให้วิทยานิพนธ์ฉบับนี้เป็น^๑
ส่วนหนึ่งของการศึกษาตามหลักสูตรบริษัทฯ หมายเหตุ


(ศาสตราจารย์ ดร. ภากร ราชภัค)

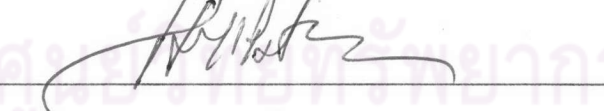
คณบดีบัณฑิตวิทยาลัย

คณะกรรมการสอบวิทยานิพนธ์


(รองศาสตราจารย์ ดร. ประโภท อุณทรากุล) ประธานกรรมการ

อาจารย์ที่ปรึกษา

(อาจารย์ไชย แซมช้อย)


จุฬาลงกรณ์มหาวิทยาลัย

กรรมการ

(รองศาสตราจารย์ ไพบูลย์ ไชยนิล)

กรรมการ

(นายบกรถ์ บริมาสพร)

พิมพ์ด้านฉบับปกด้วยอิเล็กทรอนิกส์ภายในพิมพ์ก่อนในการอบสีเจ็บน้ำเพียงแผ่นเดียว

พงษ์ศรี ศิริมงคล : การคำนวณค่าความสว่างที่ปรากฏต่อผู้สังเกตการณ์ (CALCULATION OF LUMINANCE PERCIEVED BY OBSERVERS IN SPORT LIGHTING) อ. ที่ปรึกษา : อาจารย์ ไชยรัตน์ แซ่บช้อย , 255 หน้า . ISBN 974-579-346-9

วิทยานิพนธ์นี้เสนอวิธีการคำนวณค่าความสว่าง ของวัตถุรูปทรงกระบอก (วัตถุตัวอย่าง) ที่ ปรากฏต่อสายตาผู้สังเกตการณ์ ซึ่งอาจเป็นผู้ชมในสนาม กล่องโทรทัศน์ หรือกล้องถ่ายภาพ พร้อมทั้งพัฒนา โปรแกรมคอมพิวเตอร์ เพื่อใช้ช่วยในการออกแบบระบบแสงสว่างของไฟสนามกีฬา โดยใช้ช่วงกันเครื่องไข่- โครงคอมพิวเตอร์ 16 บิต โปรแกรมนี้สามารถคำนวณหา ค่าความสว่างที่ตอบสนองของมนุษย์ ระนาบดึงที่หัน หน้าเข้าหาผู้สังเกตการณ์ และค่าความสว่างของวัตถุรูปทรงกระบอกที่ปรากฏต่อผู้สังเกตการณ์ ตลอด จนจัดทำ Isolux Diagram และภาพการกระจายค่าความสว่างในลักษณะ 3 มิติ

วิธีการคำนวณค่าความสว่างของวัตถุนี้ จะมีส่วนสำคัญมากต่อการพิจารณาคุณภาพของแสง สว่างในสนามกีฬา โดยเฉพาะอย่างยิ่งในรายการแข่งขันนักสักยุทธ์มีการถ่ายทอดโทรทัศน์



คู่มือวิทยากร จุฬาลงกรณ์มหาวิทยาลัย

ภาควิชา .. วิศวกรรมไฟฟ้า
สาขาวิชา .. วิศวกรรมไฟฟ้า
ปีการศึกษา .. 2533

ตามมือชื่อนิติบุคคล .. *M. M. N. S.*
ตามมือชื่ออาจารย์ที่ปรึกษา .. *P. W.*
ลายมือชื่ออาจารย์ที่ปรึกษาawan ..

พิมพ์ศัลจบันทึกด้วยวิทยานิพนธ์ภายในกรอบสีเขียวเพียงแผ่นเดียว

PONGSIRI SIRIMONGKOL : CALCULATION OF LUMINANCE PERCIEVED BY OBSERVERS IN SPORT LIGHTING . THESIS ADVISORS : MR. CHAIYA CHAMCHOY ,
M.Eng. 255 pp.

This thesis presents method of calculating luminance values of cylinder (sample object) percieved by observer (spectator , colour TV camera) and a microcomputer program developed for sports lighting calculation. It is used with the popular 16 bits microcomputer. The program can calculate illuminance levels at any specific point on horizontal planes and vertical planes facing to observer , and luminance levels on surface of cylinder ; and is also able to find maximum , minimum , average and uniformity of illuminance . It can also plot isolux diagrams , 3 dimension graph of illuminance distribution

This calculation method is useful for the assessment of the quality of sports lighting , especially in matches that are to be broadcast .

ภาควิชา วิศวกรรมไฟฟ้า
สาขาวิชา วิศวกรรมไฟฟ้า
ปีการศึกษา 2533

ลายมือชื่อนิสิต *Neil Ware*
ลายมือชื่ออาจารย์ที่ปรึกษา *H. H. T.*

ลายมือชื่ออาจารย์ที่ปรึกษาร่วม

กิตติกรรมประกาศ

วิทยานิพัทธ์ฉบับนี้ สาเร็จลุล่วงไปได้อย่างดียิ่งจากความช่วยเหลือของ
หลายท่าน ผู้เขียนขอขอบพระคุณ อาจารย์ ไชย แซมช้อย อาจารย์ที่ปรึกษา
วิทยานิพัธ์ ที่ให้คำแนะนำและข้อคิดเห็นต่างๆ ในกรณีวิจัยด้วยตัวเองมา ขอขอบ
พระคุณกรรมการสอบวิทยานิพัทธ์ทุกท่าน ซึ่งประกอบด้วย รองศาสตราจารย์ ดร.
ประโภท อุณห์ไวยะ รองศาสตราจารย์ ไพบูลย์ ไชยนิล อาจารย์ประจำ
ภาควิชาศึกษาฯ ไฟฟ้า และ คุณปกรัตน์ บริมาสพร ผู้จัดการท่าฯบจก. ที่อี อินเตอร์
เนชั่นแนล อิงค์ (ชิลวานิย - ดิวิชัน) ที่ได้กรุณาให้คำแนะนำ รวมทั้งข้อคิดเห็น
ต่างๆ ของงานวิจัยนี้ นอกจากนี้ขอขอบคุณ พี่ เพื่อน และ น้องๆ ทุกคนที่อยู่เบื้อง
หลังความสาเร็จครั้งนี้

ท้ายนี้ ผู้เขียนขอกราบขอบพระคุณ บิดา มารดา ซึ่งสนับสนุน ในด้าน
การเงิน และ ให้กำลังใจแก่ผู้เขียน เสมอมาจนสาเร็จการศึกษา



ศูนย์วิทยาศาสตร์
จุฬาลงกรณ์มหาวิทยาลัย



สารบัญ

หน้า

บทคัดย่อภาษาไทย	๗
บทคัดย่อภาษาอังกฤษ	๘
กิตติกรรมประกาศ	๙
สารบัญรูป	๙
สารบัญตาราง	๑๑

บทที่

1. บทนำ

1.1 ความเป็นมาของปัญหา	1
1.2 ความสำคัญของปัญหา	2
1.3 วัตถุประสงค์และขอบเขตของการวิจัย	3
1.4 ขั้นตอนในการดำเนินงานวิจัย	4
1.5 ประโยชน์ที่ได้รับจากการวิจัย	4

2. การออกแบบไฟแสดงสว่างของสนามกีฬา

2.1 คำนิยามต่าง ๆ ทั้งด้านแสงสว่าง	5
2.2 ข้อควรพิจารณาในการออกแบบไฟแสดงสว่างสนามกีฬา	10
2.3 ประเภทของโคมฉาย	13
2.4 วิธีการวัดค่าความสว่าง เฉลี่ยและค่าความสูงมาตรฐาน	18
2.5 การจัดรากไม้สนามกีฬา	19
2.6 คุณลักษณะที่เกี่ยวข้องกับการออกแบบไฟแสดงสว่างของ สนามกีฬา	22
2.7 คุณลักษณะการสะท้อนแสงของพื้นผิว	24
2.8 การออกแบบไฟสนามกีฬาที่มีการถ่ายทอดโทรทัศน์ หรือ ถ่ายภาพ	26

3.	วิธีคำนวณเกี่ยวกับค่าแสงสว่างไฟสนามกีฬา	
3.1	การแสดงข้อมูลของโคมจ่าย	34
3.2	การคำนวณค่าความสว่างบนระนาบอน	36
3.3	การคำนวณค่าความสว่างบนระนาบดิ่งที่หัน เข้าหาผู้สังเกตการณ์	42
3.4	คุณลักษณะการสะท้อนแสงของพื้นผิว	46
3.5	รูปแบบการคำนวณค่าความส่องสว่าง	48
3.6	การคำนวณค่าความส่องสว่างของวัตถุรูป ทรงกระบอกที่ปรากฏต่อสายตาผู้สังเกตการณ์	51
4.	การใช้คอมพิวเตอร์ในการคำนวณไฟแสงสว่างของสนามกีฬา	
4.1	การกำหนดค่าที่จำเป็นต่าง ๆ เพื่อใช้งานการ คำนวณความเข้มส่องสว่างของโคมไฟ	63
4.2	การคำนวณความสว่างบนระนาบอน และระนาบดิ่ง	65
4.3	การคำนวณค่าความส่องสว่างของวัตถุรูปทรงกระบอก ที่ปรากฏต่อสายตาผู้สังเกตการณ์	70
4.4	ข้อมูลที่ใช้ในการคำนวณ	72
4.5	ข้อกำหนดของการใช้โปรแกรม	73
4.6	ผลที่ได้จากการคำนวณของโปรแกรม	74
5.	การพัฒนาโปรแกรม	
5.1	โครงสร้างของโปรแกรม	75
5.2	วิธีการใช้งานโปรแกรม	97

6.	ตัวอย่างการใช้งานโปรแกรม	
6.1	ผลลัพธ์จากการคำนวณของลักษณะการติดตั้งโคมไฟ	
	ชุดที่ 1 (ใช้เส้า 4 ตัน)	128
6.2	ผลลัพธ์จากการคำนวณของลักษณะการติดตั้งโคมไฟ	
	ชุดที่ 2 (ใช้เส้า 2 ตัน)	172
7.	สรุปการวิจัยและข้อเสนอแนะ	
7.1	สรุปผลการท่าวิจัย	214
7.2	ข้อเสนอแนะ	229
	หนังสืออ้างอิง	231
	ประวัติผู้เขียน	233

ศูนย์วิทยทรัพยากร จุฬาลงกรณ์มหาวิทยาลัย

สารบัญรูป

รูปที่

หน้า

2.1 แสดงการหาค่าความส่องสว่าง	6
2.2 แสดงรูป RELATIONSHIP BETWEEN GRASS BRIGHTNESS AND ANGLE OF INCIDENT LIGHT FOR CONSTANT ANGLE OF VISION (20 DEGREE)	12
2.3 แสดงรูป GENERAL TYPES OF FLOODLIGHTS	15
2.4 แสดงรูป TYPICAL FLOODLIGHT DISTRIBUTION SHOWN DIAGRAMMATICALLY	16
2.5 แสดงรูป RELATIONSHIP BETWEEN PLAYING AREA AND APPROXIMATE NUMBER OF GRID POINTS NEEDED FOR CALCULATING AVERAGE ILLUMINANCE AND UNIFORMITY RATIO	19
2.6 แสดงรูป GRIDS FOR CALCULATION AND MEASUREMENT OF AVERAGE ILLUMINANCE AND UNIFORMITY RATIO IN SPORTS STADIUM	19
2.7 แสดงรูป FOUR-CORNER ARRANGEMENT OF STADIUM LIGHTING SHOWING THE POSITION OF THE COLUMNS	21
2.8 แสดงรูป SIDE ARRANGEMENT OF STADIUM LIGHTING IN WHICH THEY ARE MOUNTED	21
2.9 แสดงรูป REFLECTED LUMINOUS INTENSITY DISTIBUTION CHARACTERISTIC MODEL	24
2.10 แสดงรูป VERTICAL PLANS AT EACH GRID POINT FACE THE SIDE-LINE BORDERING THE MAIN CAMERA AREA	30
2.11 แสดงรูป VERTICAL PLANES AT EACH GRID POINT FOR THE FIXED CAMERA POSITION	30

2.12 แสดงรูป FOUR VERTICAL PLANES AT EACH GRID POINT FACING THE SIDE-LINES	31
3.1 ตัวอย่างข้อมูลของโคมฉาย	34
3.2 แสดงระบบที่ใช้ในการวัดค่าความเข้มส่องสว่างของโคมฉาย	35
3.3 แสดงตาแน่น จุดเล็งของโคม และจุดที่ต้องการหาค่าความสว่าง	37
3.4 แสดงความสัมพันธ์เชิงเรขาคณิตของตาแน่นดวงโคม จุดเล็ง และจุดที่ต้องการคำนวณหาค่าความสว่างบนระนาบอนที่อยู่สูงจากพื้นสนาม	40
3.5 รูปด้านบน แสดงตาแน่นของโคม ผู้สังเกตการณ์ จุดที่คำนวณหาค่าความสว่างและระนาบตั้งฉาก กับ แนวสายตาผู้สังเกตการณ์	43
3.6 รูปด้านข้าง แสดงตาแน่นของโคม ผู้สังเกตการณ์ จุดที่คำนวณหาค่าความสว่างและระนาบตั้งฉาก กับ แนวสายตาผู้สังเกตการณ์	43
3.7 รูปสามมิติ แสดงตาแน่นของโคม ผู้สังเกต และจุดที่คำนวณ	44
3.8 REFLECTED LUMINOUS INTENSITY DISTRIBUTION CHARACTERISTIC MODEL	47
3.9 แสดงการพิจารณา แสงที่ตกกระทบบนพื้นผิว เล็ก ๆ	47
3.10 แสดงด้านบนของตาแน่น จุดศูนย์กลางของรัศมีรูปทรงกรวยของโคมไฟ ผู้สังเกตการณ์ และจุดที่คำนวณค่าความสว่าง	51
3.11 แสดงภาพด้านบนของ จุดที่คำนวณค่าความส่องสว่าง	52
3.12 รูปด้านข้าง แสดงจุดที่คำนวณค่าความส่องสว่าง	53
3.13 แสดงมุมระหว่าง เส้นสองเส้น ในระบบสามมิติ	56
3.14 ภาพสามมิติ แสดงความสัมพันธ์เชิงเรขาคณิต ของตาแน่นโคมไฟ ผู้สังเกต และจุดที่คำนวณค่าความส่องสว่าง	61
4.1 แสดงค่าความเข้มส่องสว่างของโคมไฟที่ใช้ในตัวอย่างการคำนวณ	64
4.2 แสดงตัวอย่างการประมาณค่าโดยใช้ QUADRATIC INTERPOLATION ของค่า I	67

4.3 แสดงการใช้ QUADRATIC INTERPOLATION ของ CURVE A	
จากรูปที่ 4.2	67
4.4 แสดงจุดที่ต้องการคำนวณภายนอกพื้นที่ ที่ต้องการคำนวณ	68
4.5 แสดงระนาบที่คำนวณค่าความส่วนของแนวเส้น	70
5.1 แสดงโครงสร้างของโปรแกรม AREA FLOOD LIGHTING DESIGN ...	78
5.2 แสดง DIAGRAM การคำนวณความส่วนของระนาบตอน	81
5.3 แสดงโครงสร้างของส่วนโปรแกรมการคำนวณค่าความส่วน บนระนาบเส้น	85
5.4 แสดง DIAGRAM ขั้นตอนการคำนวณค่าความส่วนบนระนาบเส้น	86
5.5 แสดง DIAGRAM โครงสร้างของโปรแกรมในส่วนการคำนวณค่าความ ส่วนของวัตถุทรงกระบอกที่ปรากฏต่อสายตาผู้ลัง เกตเธร์	90
5.6 DIAGRAM แสดงขั้นตอนการคำนวณค่าความส่วนของวัตถุที่ ปรากฏต่อสายตาผู้ลัง เกตเธร์	91
5.7 แสดงภาพด้านบนการกำหนดจุดที่คำนวณ บนพื้นผิววัตถุทรงกระบอก ...	94
5.8 แสดงภาพของวัตถุที่มองจากตาแห่งผู้ลัง เกตเธร์	95
5.9 แสดง TITLE ของโปรแกรม AFLD	98
5.10 แสดง MAIN MENU ของโปรแกรม AFLD	98
5.11 ตารางสาหรับป้อนข้อมูลรายละเอียด การติดตั้งคอมไฟ	101
5.12 ตารางสาหรับป้อนข้อมูล ความกว้าง ความยาว และ ระยะห่างระหว่างจุดที่คำนวณในตารางเล็ก	101
5.13 แสดงรายการในรายการ INSTALLATION DATA	102
5.14 แสดงรายการในรายการ NEW DATA	102
5.15 แสดงภาพบนจอ ขณะที่โปรแกรมถามว่า ต้องการ SAVE ข้อมูลการติดตั้งคอมไฟลงบนแผ่น DISK หรือ ไม่	103
5.16 แสดงภาพบนจอขณะที่โปรแกรมให้ป้อนชื่อแฟ้มข้อมูล ที่ SAVEลง DISK 103	
5.17 แสดงรายการในรายการ FILE DATA	106

5.18	แสดงการป้อนข้อมูลการติดตั้งโคมไฟแบบสมมาตรที่ต้องการอ่าน	108
5.19	แสดงการป้อนข้อมูลการติดตั้งโคมไฟแบบไม่สมมาตรที่ต้องการอ่าน	108
5.20	แสดงตารางการป้อนข้อมูลพร้อมข้อมูลที่ได้จากการอ่านแผ่น DISK	108
5.21	แสดงภาพนจօเมื่อเลือก LUMINAIRE DATA	110
5.22	แสดงภาพนจօเมื่อเลือกรายการ CALCULATION	110
5.23	ภาพนจօแสดงรายการ HORIZONTAL	111
5.24	ภาพนจօแสดงสภาพของโปรแกรมขณะทำการคำนวณ	111
5.25	ภาพนจօแสดงการป้อนข้อมูลระดับเหนือพื้นสนามที่ต้องการคำนวณ	112
5.26	ภาพนจօแสดงการแสดงผลลัพธ์ทางหน้าจอคอมพิวเตอร์	112
5.27	แสดงหน้าจอให้ตรวจสอบเครื่องพิมพ์	115
5.28	ภาพหน้าจอแสดงสถานะของภาษาลังพิมพ์	115
5.29	ภาพนจօแสดงรายการ INCLINE	116
5.30	ภาพนจօแสดงตารางสาหรับป้อนข้อมูลสาหรับเลือกรายการ OBSERVER	116
5.31	ภาพนจօแสดงลักษณะของการคำนวณ	117
5.32	ภาพนจօแสดงผลลัพธ์ทางหน้าจอคอมพิวเตอร์	117
5.33	ภาพที่ปรากฏบนจอขณะเลือกรายการ LUMINANCE	119
5.34	ภาพที่ปรากฏบนจอขณะทำการคำนวณ	119
5.35	แสดงผลลัพธ์หลังการคำนวณ	122
5.36	แสดงภาพนจօขณะเลือกรายการ GRAPHIC	123
5.37	แสดงภาพนจօขณะเลือกรายการ ISOLUX DIAGRAM	123
5.38	แสดงภาพนจօขณะป้อนข้อมูลของค่า ISOLUX ที่ต้องการ PLOT	124
5.39	แสดงภาพนจօเมื่อเลือกรายการ 3-DIMENSION	124
6.1 (a)	แสดงรูปแบบการติดตั้งโคมไฟที่ใช้เสา 4 ตัน	
6.1 (b)	แสดงรูปแบบการติดตั้งโคมไฟที่ใช้เสา 2 ตัน	127
6.2	แสดงรายละเอียดข้อมูลการติดตั้งโคมไฟที่ใช้เสา 4 ตัน	128

รูปที่

หน้า

(ผลลัพธ์จากการคำนวณ ของลักษณะการติดตั้ง คอมไฟชุดที่ 1 , เสา 4 ตัน)

6.3 แสดงผลลัพธ์ของค่าความสว่างบนระนาบนอนที่พื้นสนามและ Isolux Diagram	129
6.4 แสดงการกระจายของค่าความสว่างบนระนาบนอนที่พื้นสนาม ในลักษณะสามมิติ	130
6.5 แสดงผลลัพธ์ของค่าความสว่างบนระนาบนอนที่ระดับความสูง 1.5 เมตร จากพื้นสนาม และ Isolux Diagram	131
6.6 แสดงการกระจายของค่าความสว่างบนระนาบนอนที่ระดับความสูง 1.5 เมตร จากพื้นสนาม ในลักษณะสามมิติ	132
6.7 แสดงผลลัพธ์ของค่าความสว่างบนระนาบตั้งที่พื้นสนาม ณ ผู้สั่งเกตการณ์ ต่าแห่งที่ 1 และ Isolux Diagram	133
6.8 แสดงการกระจายของค่าความสว่างบนระนาบตั้งที่พื้นสนาม ณ ผู้สั่งเกตการณ์ ต่าแห่งที่ 1 ในลักษณะสามมิติ	134
6.9 แสดงผลลัพธ์ของค่าความสว่างบนระนาบตั้งที่ระดับความสูง 1.5 เมตร จากพื้นสนาม ณ ผู้สั่งเกตการณ์ต่าแห่งที่ 1 และ Isolux Diagram	135
6.10 แสดงการกระจายของค่าความสว่างบนระนาบตั้งที่ระดับความสูง 1.5 เมตร จากพื้นสนาม ณ ผู้สั่งเกตการณ์ต่าแห่งที่ 1 ในลักษณะสามมิติ	136
6.11 แสดงผลลัพธ์ของค่าความสว่างบนระนาบตั้งที่พื้นสนาม ณ ผู้สั่งเกตการณ์ ต่าแห่งที่ 2 และ Isolux Diagram	137
6.12 แสดงการกระจายของค่าความสว่างบนระนาบตั้งที่พื้นสนาม ณ ผู้สั่งเกตการณ์ ต่าแห่งที่ 2 ในลักษณะสามมิติ	138
6.13 แสดงผลลัพธ์ของค่าความสว่างบนระนาบตั้งที่ระดับความสูง 1.5 เมตร จากพื้นสนาม ณ ผู้สั่งเกตการณ์ต่าแห่งที่ 2 และ Isolux Diagram	139

6.14	แสดงการกระจายของค่าความส่องสว่างบนระนาบดิ่งที่ระดับความสูง 1.5 เมตร จากพื้นสนาม ณ ผู้สังเกตการณ์ตำแหน่งที่ 2 ในลักษณะสามมิติ	140
6.15	แสดงผลลัพธ์ของค่าความส่องสว่างของวัตถุในแนวที่ 1 ตามหนังที่ 1 ณ ผู้สังเกตการณ์ตำแหน่งที่ 1	141
6.16	แสดงผลลัพธ์ของค่าความส่องสว่างของวัตถุในแนวที่ 1 ตามหนังที่ 2 ณ ผู้สังเกตการณ์ตำแหน่งที่ 1	142
6.17	แสดงผลลัพธ์ของค่าความส่องสว่างของวัตถุในแนวที่ 1 ตามหนังที่ 3 ณ ผู้สังเกตการณ์ตำแหน่งที่ 1	143
6.18	แสดงผลลัพธ์ของค่าความส่องสว่างของวัตถุในแนวที่ 1 ตามหนังที่ 4 ณ ผู้สังเกตการณ์ตำแหน่งที่ 1	144
6.19	แสดงผลลัพธ์ของค่าความส่องสว่างของวัตถุในแนวที่ 1 ตามหนังที่ 5 ณ ผู้สังเกตการณ์ตำแหน่งที่ 1	145
6.20	แสดงผลลัพธ์ของค่าความส่องสว่างของวัตถุในแนวที่ 2 ตามหนังที่ 1 ณ ผู้สังเกตการณ์ตำแหน่งที่ 1	146
6.21	แสดงผลลัพธ์ของค่าความส่องสว่างของวัตถุในแนวที่ 2 ตามหนังที่ 2 ณ ผู้สังเกตการณ์ตำแหน่งที่ 1	147
6.22	แสดงผลลัพธ์ของค่าความส่องสว่างของวัตถุในแนวที่ 2 ตามหนังที่ 3 ณ ผู้สังเกตการณ์ตำแหน่งที่ 1	148
6.23	แสดงผลลัพธ์ของค่าความส่องสว่างของวัตถุในแนวที่ 2 ตามหนังที่ 4 ณ ผู้สังเกตการณ์ตำแหน่งที่ 1	149
6.24	แสดงผลลัพธ์ของค่าความส่องสว่างของวัตถุในแนวที่ 2 ตามหนังที่ 5 ณ ผู้สังเกตการณ์ตำแหน่งที่ 1	150
6.25	แสดงผลลัพธ์ของค่าความส่องสว่างของวัตถุในแนวที่ 3 ตามหนังที่ 1 ณ ผู้สังเกตการณ์ตำแหน่งที่ 1	151

6.39	แสดงผลลัพธ์ของค่าความส่องสว่างของวัตถุในแนวที่ 2 ตามแน่นที่ 5 ณ ผู้สังเกตการณ์ตำแหน่งที่ 2	165
6.40	แสดงผลลัพธ์ของค่าความส่องสว่างของวัตถุในแนวที่ 3 ตามแน่นที่ 1 ณ ผู้สังเกตการณ์ตำแหน่งที่ 2	166
6.41	แสดงผลลัพธ์ของค่าความส่องสว่างของวัตถุในแนวที่ 3 ตามแน่นที่ 2 ณ ผู้สังเกตการณ์ตำแหน่งที่ 2	167
6.42	แสดงผลลัพธ์ของค่าความส่องสว่างของวัตถุในแนวที่ 3 ตามแน่นที่ 3 ณ ผู้สังเกตการณ์ตำแหน่งที่ 2	168
6.43	แสดงผลลัพธ์ของค่าความส่องสว่างของวัตถุในแนวที่ 3 ตามแน่นที่ 4 ณ ผู้สังเกตการณ์ตำแหน่งที่ 2	169
6.44	แสดงผลลัพธ์ของค่าความส่องสว่างของวัตถุในแนวที่ 3 ตามแน่นที่ 5 ณ ผู้สังเกตการณ์ตำแหน่งที่ 2	170
6.45	แสดงรายละเอียดข้อมูลการติดตั้งคอมไฟที่ใช้เสา 2 ตัน	171

(ผลลัพธ์จากการคำนวณ ของลักษณะการติดตั้งคอมไฟชุดที่ 2 , เสา 2 ตัน)

6.46	แสดงผลลัพธ์ของค่าความส่องบนระนาบอนที่พื้นสนามและ Isolux Diagram	172
6.47	แสดงการกระจายของค่าความส่องบนระนาบอนที่พื้นสนาม · ในลักษณะสามมิติ	173
6.48	แสดงผลลัพธ์ของค่าความส่องบนระนาบอนที่ระดับความสูง 1.5 เมตร จากพื้นสนาม และ Isolux Diagram	174
6.49	แสดงการกระจายของค่าความส่องบนระนาบอนที่ระดับความสูง 1.5 เมตร จากพื้นสนาม ในลักษณะสามมิติ	175
6.50	แสดงผลลัพธ์ของค่าความส่องบนระนาบที่พื้นสนาม ณ ผู้สังเกตการณ์ ตำแหน่งที่ 1 และ Isolux Diagram	176

6.51	แสดงการกระจายของค่าความส่วนเบี่ยงเบนราบดั้งที่พื้นสนาม ณ ผู้สังเกตการณ์ ตาแหน่งที่ 1 ในลักษณะสามมิติ	177
6.52	แสดงผลลัพธ์ของค่าความส่วนเบี่ยงเบนราบดั้งที่ระดับความสูง 1.5 เมตร จากพื้นสนาม ณ ผู้สังเกตการณ์ตาแหน่งที่ 1 และ Isolux Diagram	178
6.53	แสดงการกระจายของค่าความส่วนเบี่ยงเบนราบดั้งที่ระดับความสูง 1.5 เมตร จากพื้นสนาม ณ ผู้สังเกตการณ์ตาแหน่งที่ 1 ในลักษณะสามมิติ	179
6.54	แสดงผลลัพธ์ของค่าความส่วนเบี่ยงเบนราบดั้งที่พื้นสนาม ณ ผู้สังเกตการณ์ ตาแหน่งที่ 2 และ Isolux Diagram	180
6.55	แสดงการกระจายของค่าความส่วนเบี่ยงเบนราบดั้งที่พื้นสนาม ณ ผู้สังเกตการณ์ ตาแหน่งที่ 2 ในลักษณะสามมิติ	181
6.56	แสดงผลลัพธ์ของค่าความส่วนเบี่ยงเบนราบดั้งที่ระดับความสูง 1.5 เมตร จากพื้นสนาม ณ ผู้สังเกตการณ์ตาแหน่งที่ 2 และ Isolux Diagram	182
6.57	แสดงการกระจายของค่าความส่วนเบี่ยงเบนราบดั้งที่ระดับความสูง 1.5 เมตร จากพื้นสนาม ณ ผู้สังเกตการณ์ตาแหน่งที่ 2 ในลักษณะสามมิติ	183
6.58	แสดงผลลัพธ์ของค่าความส่องสว่างของวัตถุในแนวที่ 1 ตาแหน่งที่ 1 ณ ผู้สังเกตการณ์ตาแหน่งที่ 1	184
6.59	แสดงผลลัพธ์ของค่าความส่องสว่างของวัตถุในแนวที่ 1 ตาแหน่งที่ 2 ณ ผู้สังเกตการณ์ตาแหน่งที่ 1	185
6.60	แสดงผลลัพธ์ของค่าความส่องสว่างของวัตถุในแนวที่ 1 ตาแหน่งที่ 3 ณ ผู้สังเกตการณ์ตาแหน่งที่ 1	186
6.61	แสดงผลลัพธ์ของค่าความส่องสว่างของวัตถุในแนวที่ 1 ตาแหน่งที่ 4 ณ ผู้สังเกตการณ์ตาแหน่งที่ 1	187

สารบัญตาราง

หน้า

ตารางที่ 2.1 CLASSIFICATION OF FLOOD LIGHTS BY BEAM DIVERGENCE	17
ตารางที่ 2.2 ตารางแสดงค่าความสว่างในแนวตั้งที่เหมาะสม สำหรับกีฬาแต่ละประเภทที่ระยะห่างระหว่างกล้องต่าง ๆ	31
ตารางที่ 7.1 ตารางสรุปผลการคำนวณ	216

**ศูนย์วิทยทรัพยากร
จุฬาลงกรณ์มหาวิทยาลัย**